



$D^0 \to K_{S/L}^0 h^+ h^- (h = \pi, K)$ 强相 角差测量和相关的 γ 角测量

沈文涵 中国科学院大学

贵阳, 2025/08/14

内容纲要



- ➤ 研究背景
- > 分组强相角差参数测量进展
- > 非分组方法γ角测量进展
- > 总结

内容纲要



- ➤ 研究背景
- 〉分组强相角差参数测量进展
- ➤ 非分组方法γ角测量进展
- 〉总结

CKM矩阵



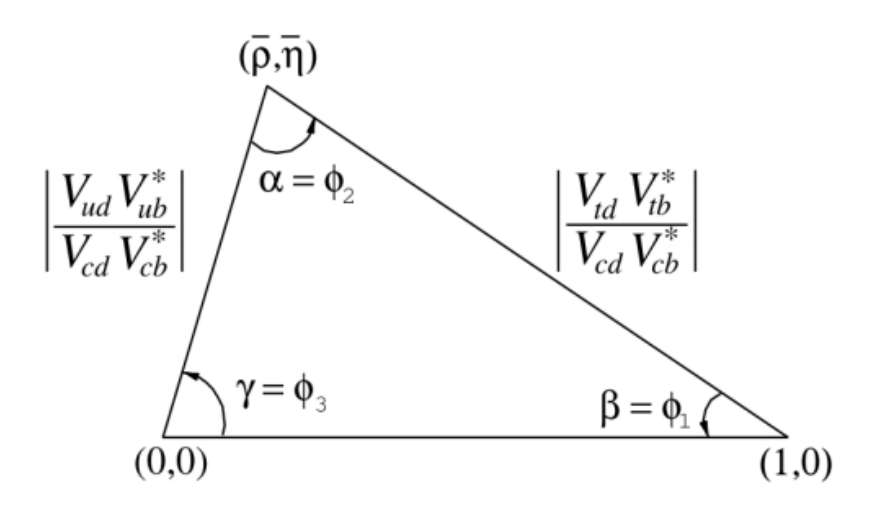
> CKM矩阵: 描述夸克代际混合

$$V = \left[egin{array}{cccc} V_{ud} & V_{us} & V_{ub} \ V_{cd} & V_{cs} & V_{cb} \ V_{td} & V_{ts} & V_{tb} \end{array}
ight] \simeq \left[egin{array}{cccc} 1 - rac{\lambda^2}{2} & \lambda & A\lambda^3(ar
ho - iar\eta) \ -\lambda & 1 - rac{\lambda^2}{2} & A\lambda^2 \ A\lambda^3(1 - ar
ho - iar\eta) & -A\lambda^2 & 1 \end{array}
ight] + O(\lambda^4)$$

- > CKM矩阵复矩阵元是标准模型中CP破坏的唯一来源
- ➤ CKM矩阵幺正性在复平面的几何表述:

$$V_{ud}V_{ub}^* + V_{cd}V_{cb}^* + V_{td}V_{tb}^* = 0$$

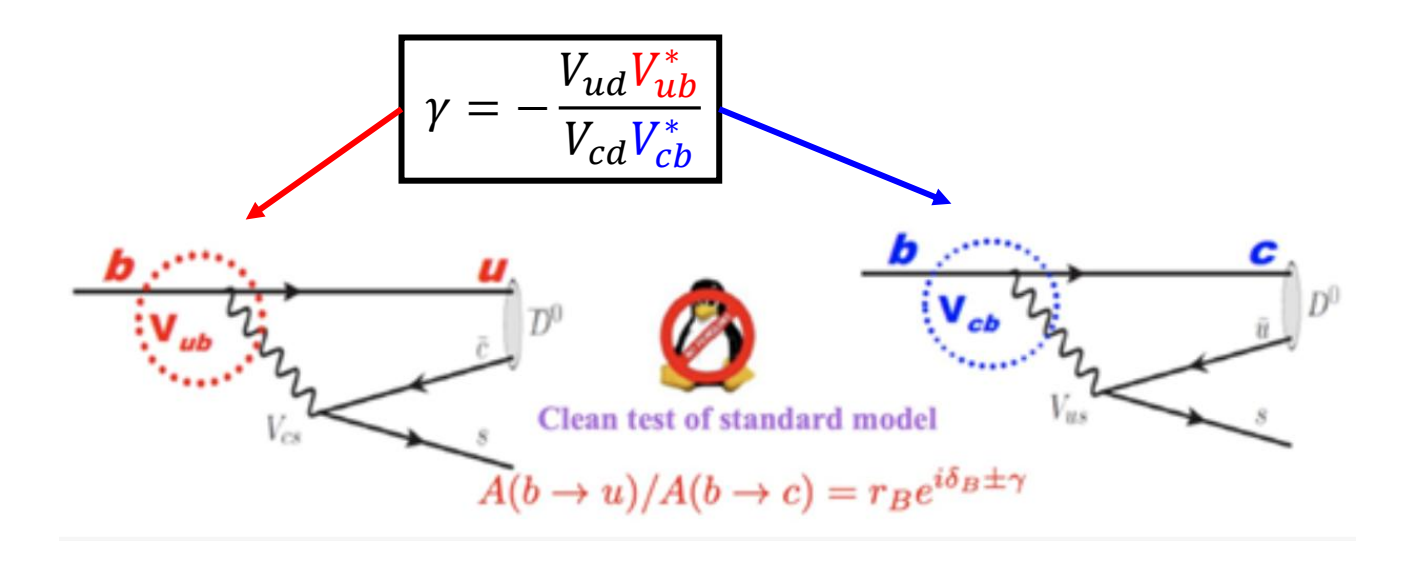
- > 幺正三角形第三个角γ精确测量:
 - > 理解标准模型CP破坏
 - ➤ 验证CKM矩阵幺正性



γ测量



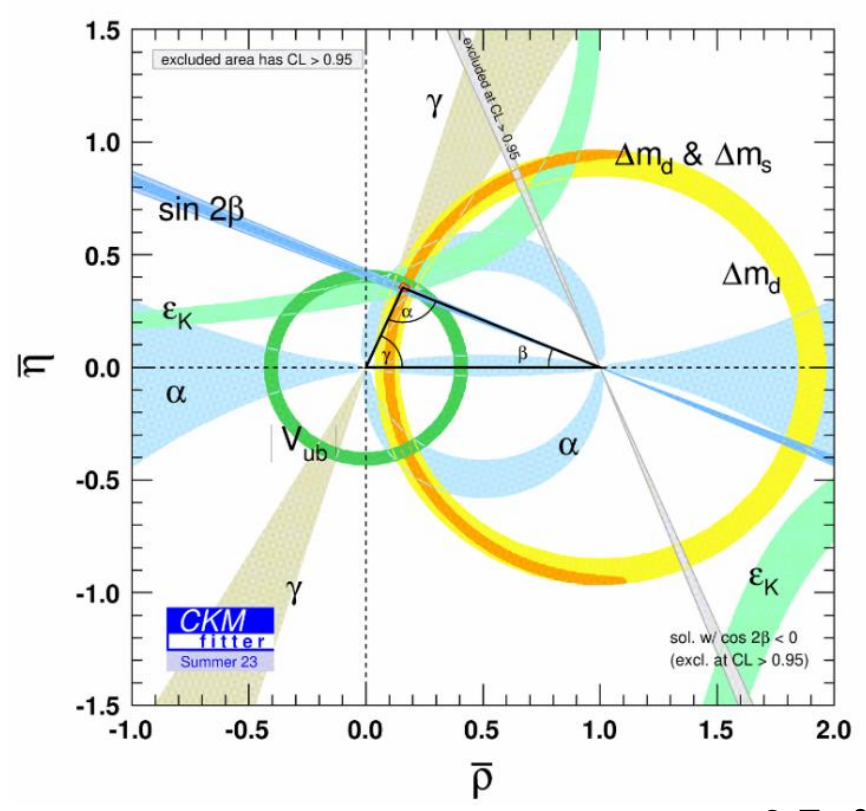
直接测量: 测量 $B \rightarrow DK$ 中的CP不对称



D衰变参数来源→不同的γ测量方法:

- ➤ GLW方法: CP本征态 (*F*₊)
- ▶ ADS方法: CF/DCS过程 (δ_D, R_D, r_D)
- \triangleright BPGGZS方法: 自共轭多体末态(c_i/s_i)

间接测量: CKM矩阵幺正性约束

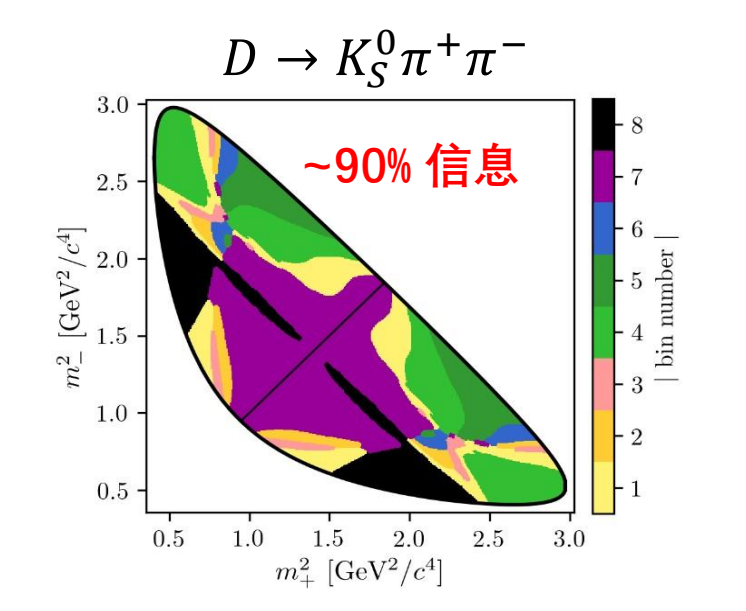


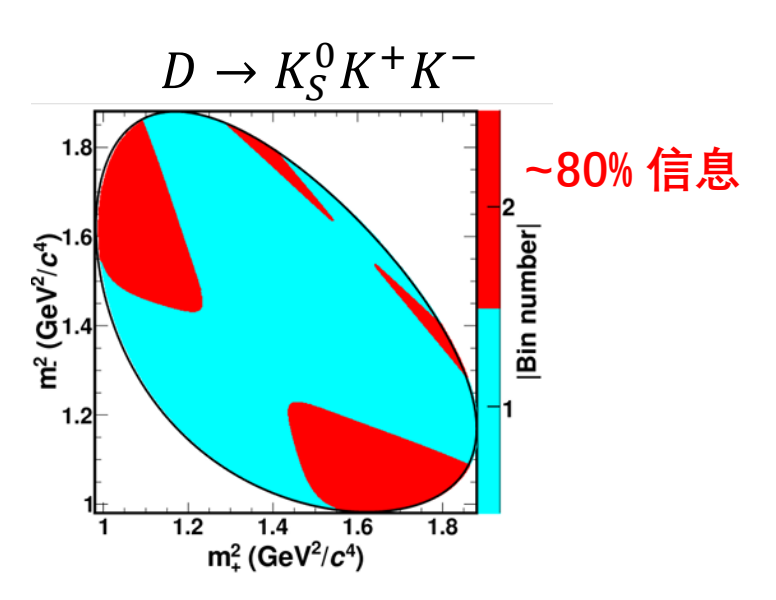
CKMfitter $\gamma_{ind} = (66.3^{+0.7}_{-1.9})^{\circ}$ LHCb $\gamma_{dir} = (66.4^{+2.8}_{-3.0})^{\circ}$

BPGGSZ方法



- $\triangleright B \to DK, D \to K_S^0 h^+ h^- (h = \pi, K)$ 得到 当前最高精度的单一道测量结果。
 - \rightarrow 非平庸强相角差 $\Delta\delta_D$;
 - ▶具有足够统计量;
 - >具有丰富的末态和相空间结构;
- ➤BPGGSZ方法: 对Dalitz图分组, 联立组内的CP不对称
 - ▶分组数目限制了描述组内相空间变化的能力

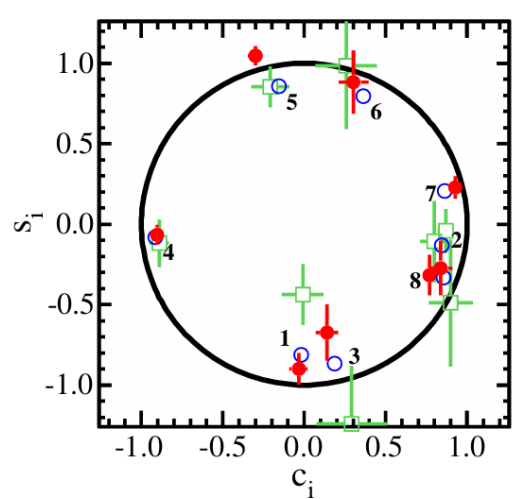




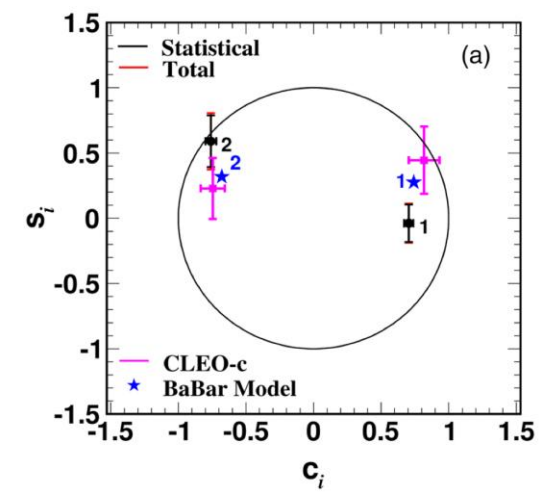
分组BPGGSZ方法研究现状



- $> D^0 \rightarrow K_S^0 h^+ h^- (h = \pi, K)$ 分组强相角差参数 c/s_i 测量已有一些测量结果
 - $\succ K_S^0 \pi^+ \pi^-$: CLEO 818 pb⁻¹, BESIII 2.93 fb⁻¹ ψ (3770)样本
 - $\succ K_S^0 K^+ K^-$: BESIII 2.93 fb⁻¹ ψ (3770)样本



$$K_S^0 \pi^+ \pi^- 2.93 \text{ fb}^{-1}$$
 PRD101, 112002 (2020)



 $K_S^0 K^+ K^-$ 2.93 fb⁻¹ PRD 102, 052008(2020)

- > 当前BPGGSZ方法γ角测量中,强相角参数误差和LHCb系统误差相当
 - > 需求更高精度的分组强相角差参数测量结果
 - $\succ K_S^0 \pi^+ \pi^-$: BESIII 7.93 fb⁻¹(JHEP 06(2025)086) 20 fb⁻¹(进行中)
 - $> K_S^0 K^+ K^-$: BESIII 20 fb⁻¹ (进行中)

非分组傅里叶方法

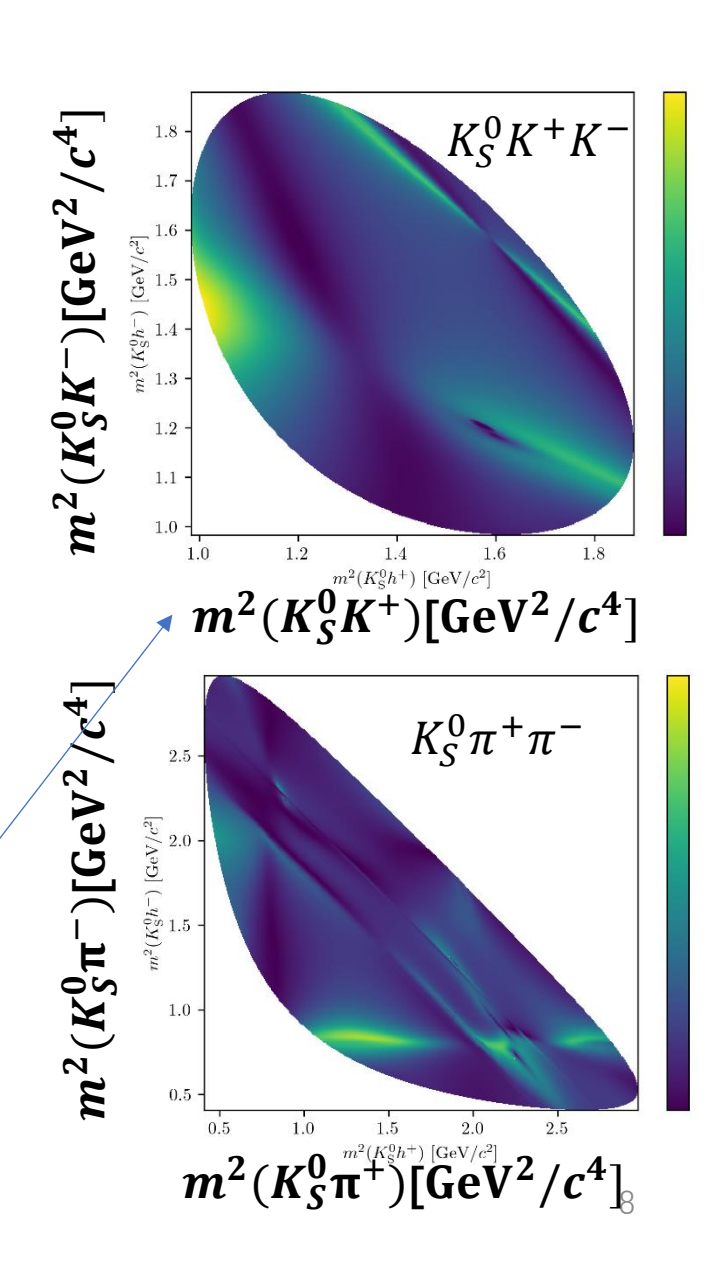


 \triangleright 分组方法的可观测量 N_i 可以看作以阶梯函数 w_i 为权重对相空间上每个点的衰变率 p_D 加权求和:

$$N_i = \int_D w_i(\mathbf{z}) p_D(\mathbf{z}) d\mathbf{z}$$

- 对各点衰变率作傅里叶展开,可以利用相空间上所有点的信息。
- > 考虑本底和效率等实验因素影响,傅里叶展开的正交基函数 $\cos(n\phi)/\sin(n\phi)$ 通过optimal weight w_z 修正

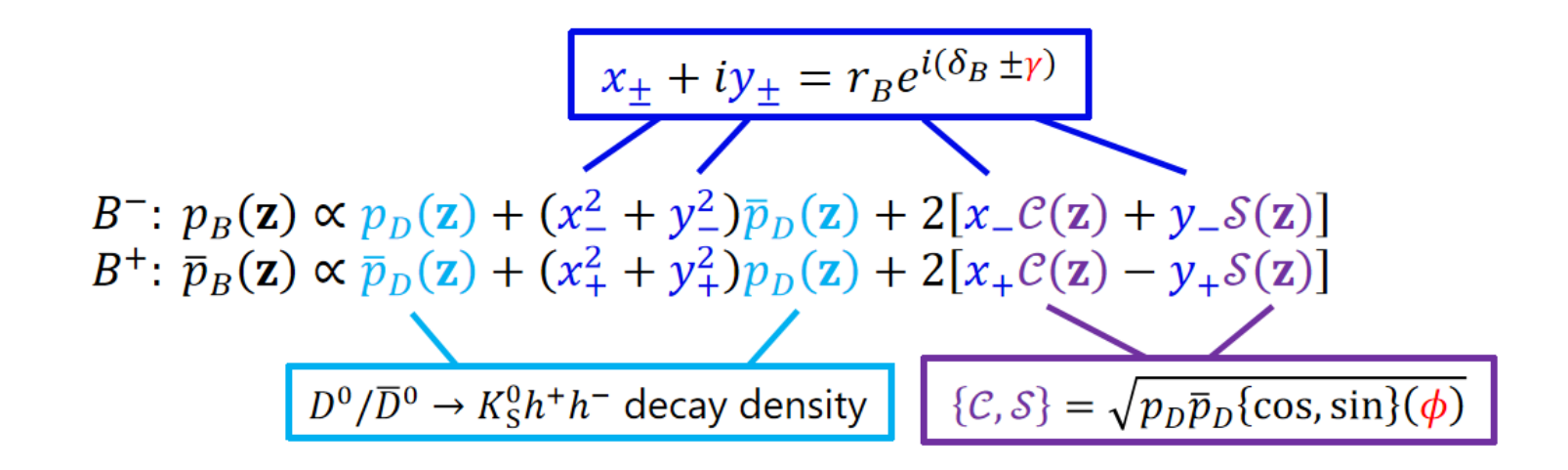
这里 4 为模型确定的强相角



BESIII和LHCb的联合测量



 $Part B \to DK$ 的衰变率可以写成



- 不分组方法的γ角测量需要B介子衰变数据和D介子衰变数据
 - ▶ 衰变道为 $B \to Dh, D \to K_S^0 h^+ h^- (h = \pi/K)$.
 - > LHCb和BESIII联合完成不分组方法的首次γ角测量
 - > 目前处于合作组审核阶段

BESIII实验测量强相位差



▶采用重建两侧D介子的双标记方法(Double-Tag) 重建数据。

- ➤信号道包括 $K_S^0 h^+ h^-$ 和 $K_L^0 h^+ h^-$
 - $\succ K_L^0 h^+ h^- 为 K_S^0 h^+ h^-$ 提供额外约束
- ➤ 利用多种标记道测量D衰变参数,提高统计量

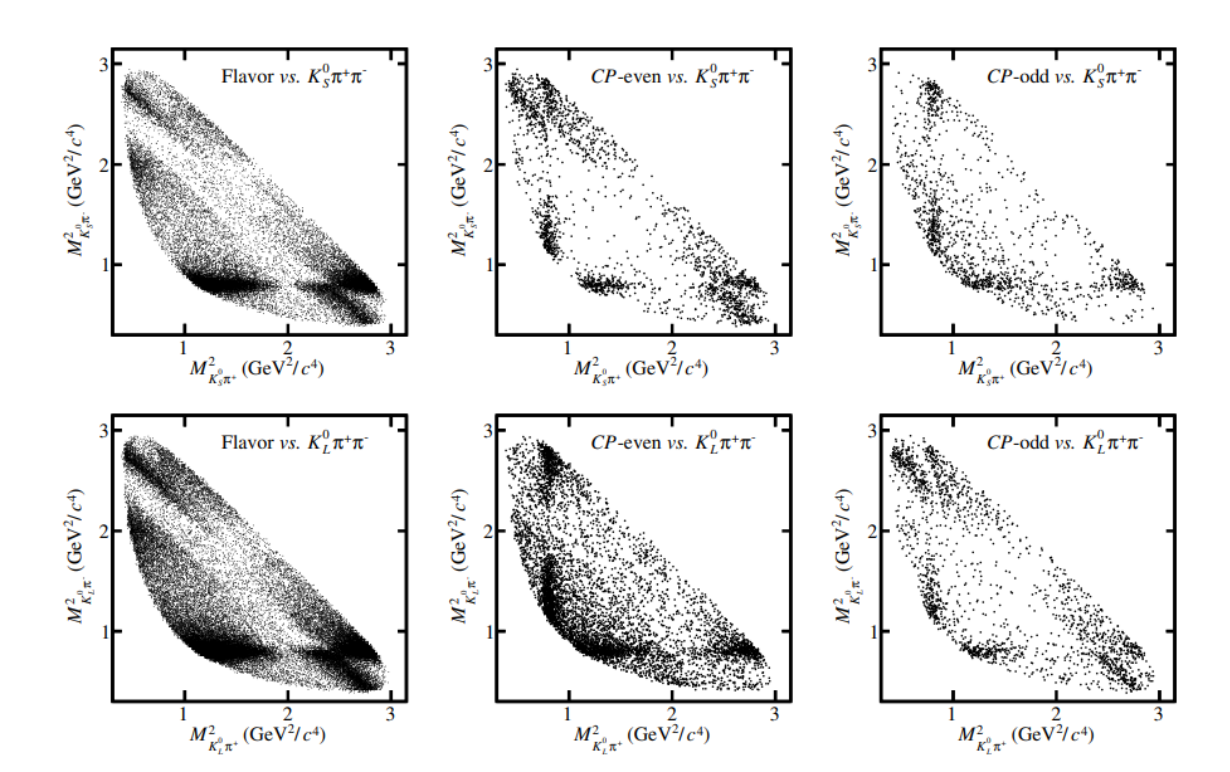
类型	标记道
粲味标记道	$K\pi, K\pi\pi^0, K\pi\pi\pi, Kev$
偶CP标记道	$KK, \pi\pi, K_S^0\pi^0\pi^0, K_L^0\pi^0, \pi\pi\pi^0(F_+\sim 0.94)$
奇CP标记道	$K_S^0\pi^0$, $K_S^0\eta_{\gamma\gamma/\pi\pi\pi^0}$, $K_S^0\eta'_{\pi\pi\eta/\rho\gamma}$, $K_S^0\omega$, $K_L^0\pi^0\pi^0$
自共轭道	$K_S^0 hh, K_L^0 hh(h=\pi,K)$

信号侧

数据分布



- ➤ 不同标记道Dalitz图差异显示双标记产额包含量子关联效应。
- ➤ 不同标记道提供不同D衰变参数的约束
 - \triangleright 粲味标记道: $p_D \to F_i$ (分组); $p_D \to (a,b)_n^D$ (不分组)
 - ightharpoonupCP标记道: $C(\phi) \to c_i$ (分组); $C(\phi) \to (a_n^C, b_n^C)$ (不分组)
 - \triangleright 自共轭道: $S(\phi) \rightarrow S_i($ 分组); $S(\phi) \rightarrow (a_n^s, b_n^s)$ (不分组)



内容纲要

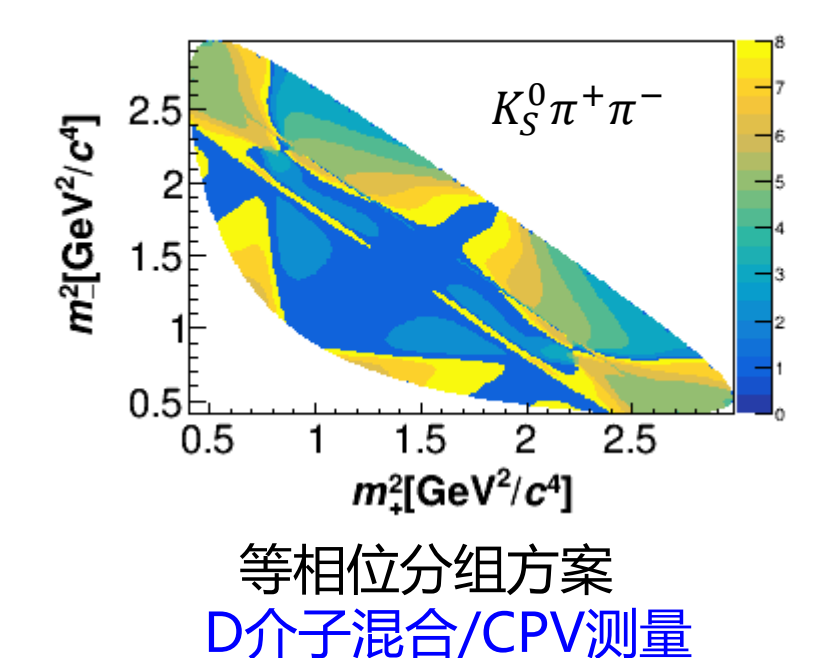


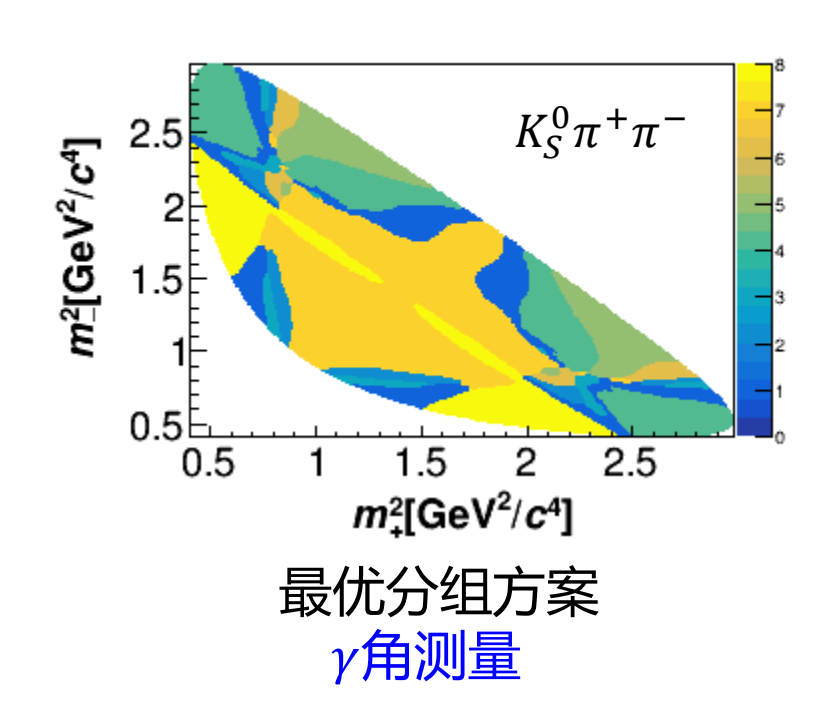
- > 研究背景
- > 分组强相角差参数测量进展
- > 非分组方法/角测量进展
- 〉总结

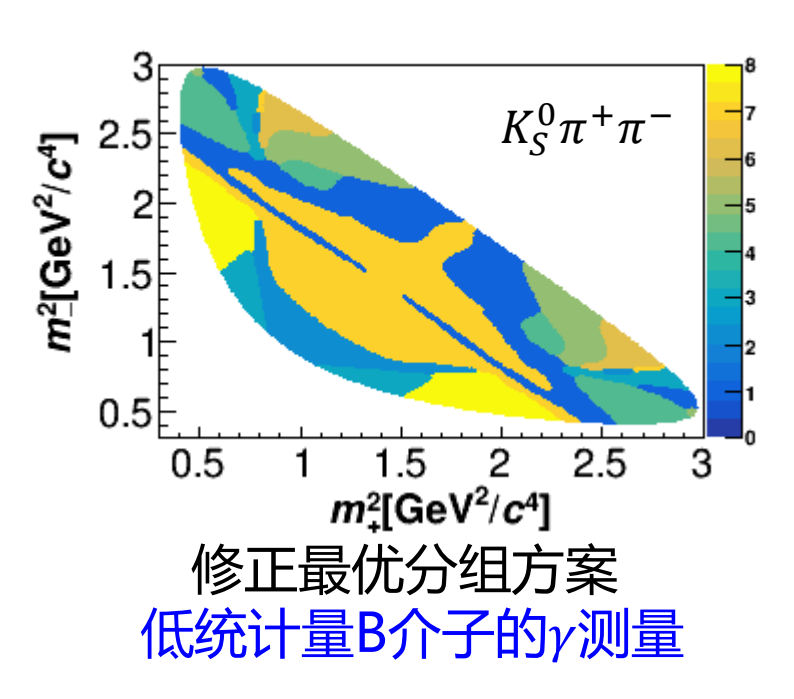
分组方案



 \triangleright 基于不同的物理目标, $K_{S/L}^0\pi^+\pi^-$ 相空间有不同的分组方式



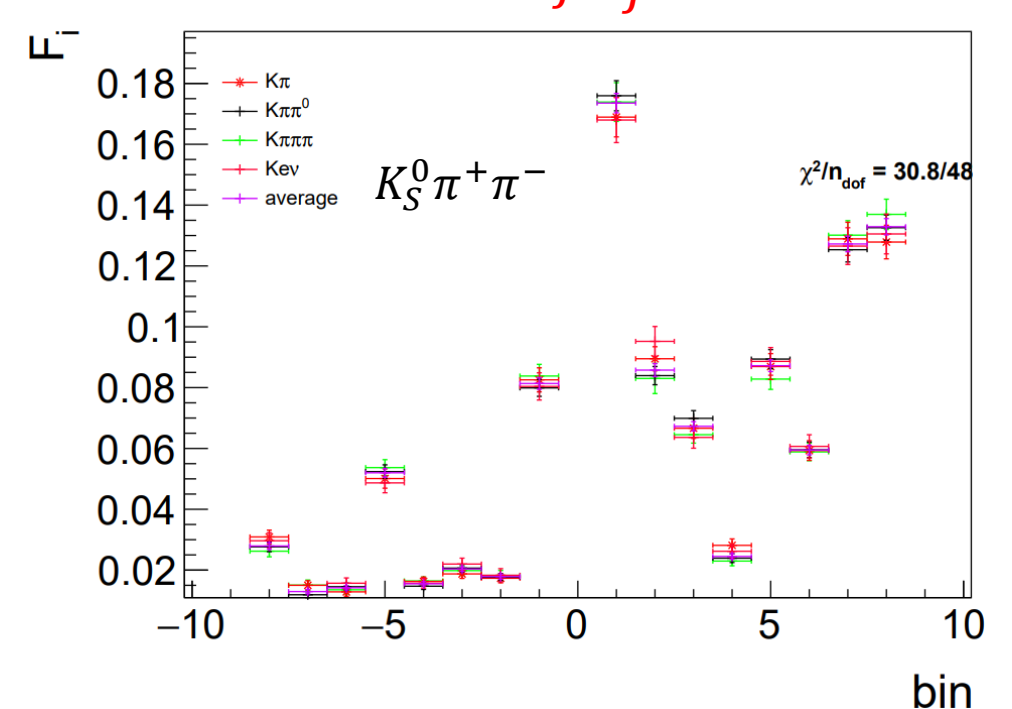


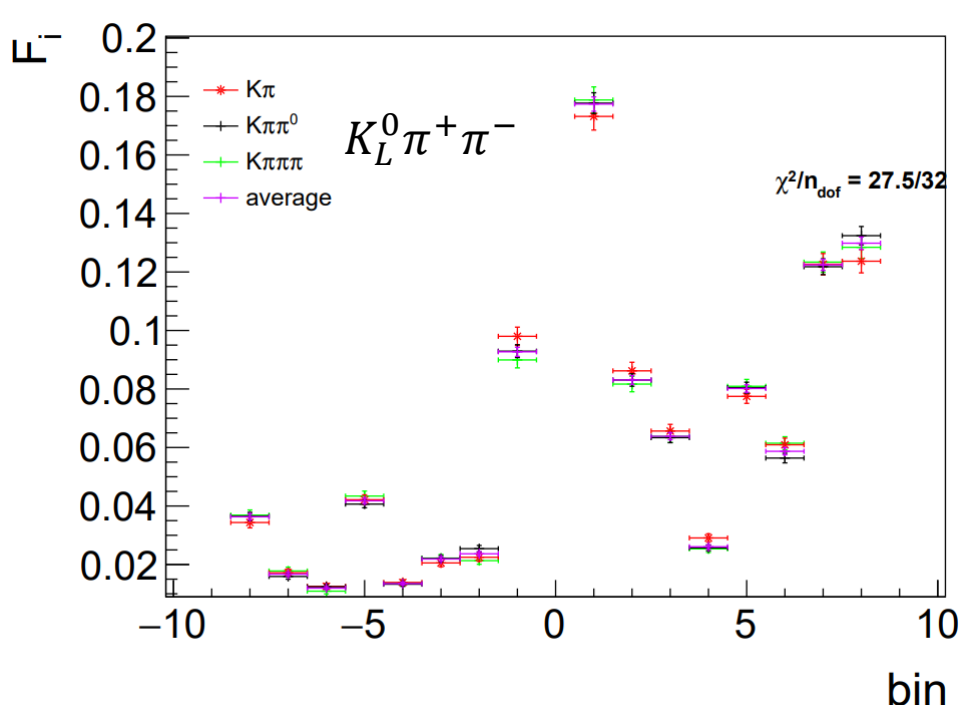


粲味标记道分组产额 K_i



- \triangleright 粲味标记道的分组产额 $K_i = \sum_j (\varepsilon^{-1})_{ij} N_j, N_j$ 为拟合得到的分组产额。
 - ightharpoonup 对 $K^{\pm}\pi^{\mp}$, $K^{\pm}\pi^{\mp}\pi^{0}$ 和 $K^{\pm}\pi^{\mp}\pi^{+}\pi^{-}$, 通过振幅模型计算其DCS修正
 - ightharpoonup 产额分数 $F_i^{(\prime)} = \frac{K_i^{(\prime)}}{\sum_j K_j^{(\prime)}}$ 在不同味道标记道中保持一致





C_i, S_i 提取



- \triangleright 其他标记道产额可以由味道标记道产额 K_i 和归一化系数计算:
- ▶ CP标记道产额可以用于提取 $c_i^{(\prime)}$:

$$M_i^{(\prime)} = h_{CP}^{(\prime)} \sum_{j=0}^{N=2,8} \epsilon_{ij}^{(\prime)} \left(K_j^{(\prime)} + K_{-j}^{(\prime)} \mp (2F_{CP}^+ - 1) \times 2c_j^{(\prime)} \sqrt{K_j^{(\prime)} K_{-j}^{(\prime)}} \right)$$

 \triangleright 自共轭道产额则可以用于提取 $c_i^{(\prime)}$ 和 $s_i^{(\prime)}$:

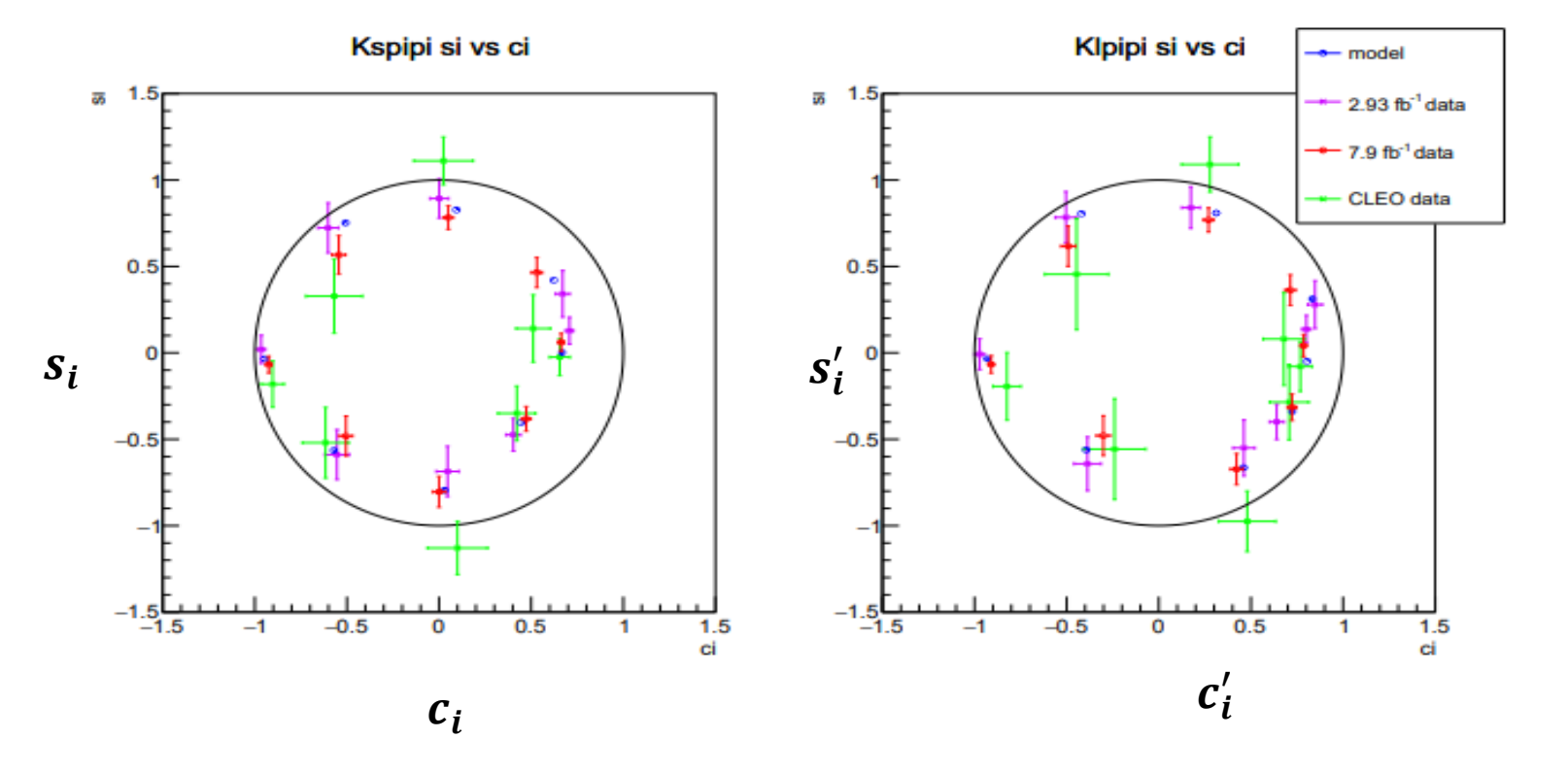
$$M_{ij}^{(\prime)} = h_{corr}^{(\prime)} \sum_{m \to (i,j)=0}^{m=72(128)} \epsilon_{mn}^{(\prime)} \left(K_i K_{-j}^{(\prime)} + K_{-i} K_j^{(\prime)} \mp 2 \sqrt{K_i K_{-i} K_j^{(\prime)} K_{-j}^{(\prime)}} (c_i c_j^{(\prime)} + s_i s_j^{(\prime)}) \right)$$

>归一化系数
$$h_{CP}^{(\prime)} \propto A_{CP}^2, h_{corr}^{(\prime)} \propto N_{DD}$$
。

纵向比较和γ不确定度贡献



 $> K_{S/L}^0 \pi^+ \pi^-$ 当前7.9 fb⁻¹结果同之前结果的比较图:

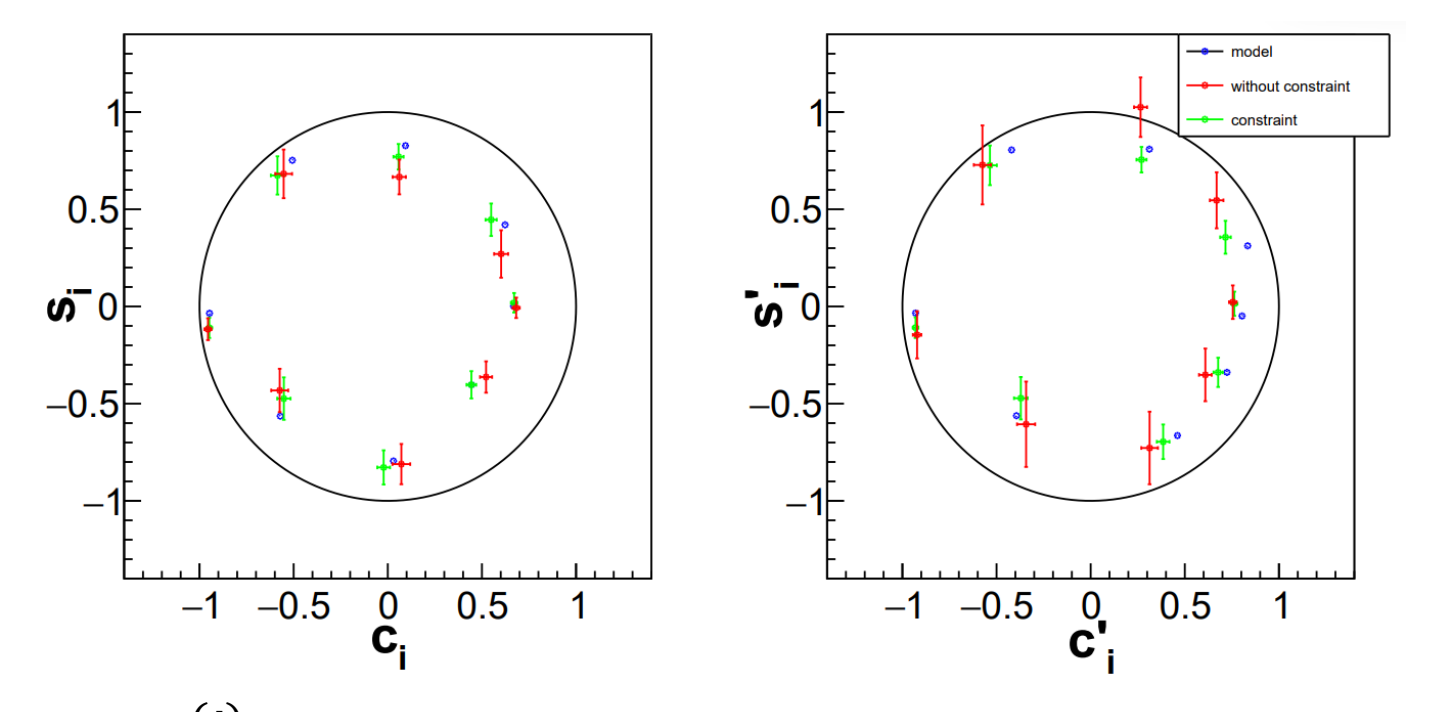


- ▶相较2.93 fb⁻¹的之前的结果, 当前结果的 c/s_i 不确定性提升1.5倍
- ト目前,最优分组条件下 $K_{S/L}^0\pi^+\pi^-$ 强相角参数对 γ 不确定度贡献为0.9°,预期在20 fb⁻¹下的贡献为0.6°。

结果—— $\Delta c/s_i$ 约束影响



- \ge 之前研究中,使用了基于模型输入的 $\triangle c/s_i = c/s_i' c/s_i$ 约束
 - \triangleright 更高亮度的 $\psi(3770)$ 样本使完全去除拟合中的模型 输入成为可能
 - \rightarrow 加深我们对 $\Delta c/s_i$ 约束在 c/s_i 测量中的影响的理解

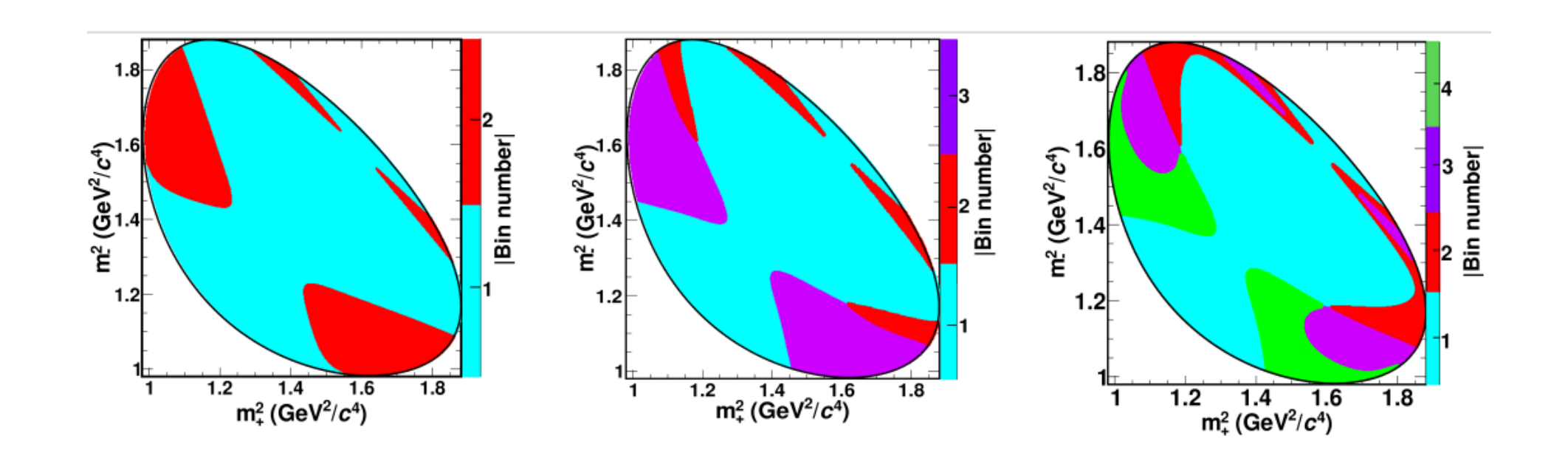


- \triangleright 模型约束后 $c/s_i^{(\prime)}$ 结果更接近于模型预测,不确定性明显减少
- ightharpoonup 不约束结果对 γ 不确定度的贡献为 1.5° 。
- Toy研究表明,约束结果相较不约束结果,γ测量中心值存在0.4°的偏移。

KSK+K-分组强相角参数测量



 \rightarrow 测量 $K_S^0K^+K^-$ 分组数为2,3,4的最优分组方案结果



ightharpoonup 分组数为2的情况下, 20 fb⁻¹ 的 $K_{S/L}^0K^+K^-$ 强相角参数预期对 γ 不确定度贡献为1.0°

内容纲要



- > 研究背景
- 〉分组强相角差参数测量进展
- > 非分组方法γ角测量进展
- 〉总结

级数定义



$\triangleright B$ → DK的衰变率

$$x_{\pm} + iy_{\pm} = r_B e^{i(\delta_B \pm \gamma)}$$

$$B^-: p_B(z) \propto p_D(z) + (x_-^2 + y_-^2)\bar{p}_D(z) + 2[x_-\mathcal{C}(z) + y_-\mathcal{S}(z)]$$

 $B^+: \bar{p}_B(z) \propto \bar{p}_D(z) + (x_+^2 + y_+^2)p_D(z) + 2[x_+\mathcal{C}(z) - y_+\mathcal{S}(z)]$

$$D^0/\overline{D}^0 \to K_S^0 h^+ h^-$$
衰变率

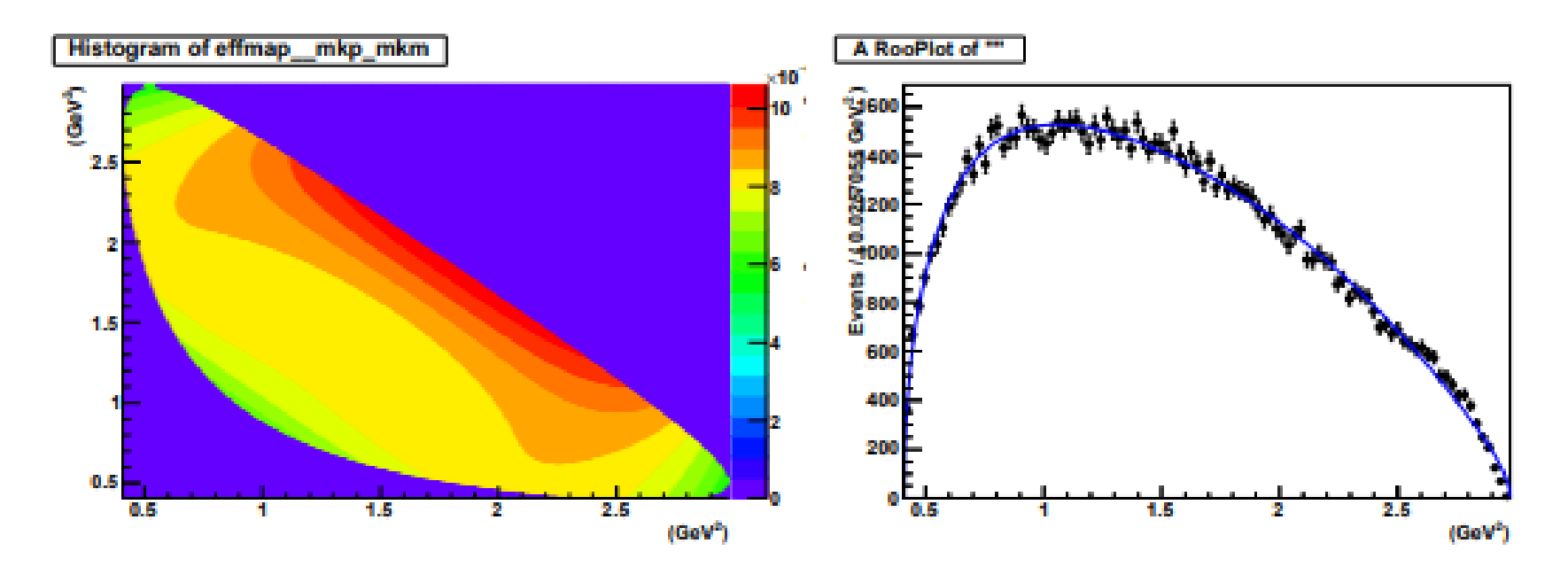
$$(C,S) = \sqrt{p_D \bar{p}_D(\cos,\sin)(\phi)}$$

- $> p_D, C(z), S(z)$ 可以通过傅里叶展开得到级数 $(a,b)_n^D, (a,b)_n^C, (a,b)_n^S.$
- ▶LHCb和BESⅢ首次利用不分组方法联合测量γ
 - BESIII: $7.93 \text{fb}^{-1} \psi(3770)$ data
 - LHCb: 9fb⁻¹ Run1+Run2 data

效率修正和级数计算



- ➤ 可以利用多项式函数拟合PHSP MC确定相空间每点的相对效率
 - ➤ 为Dalitz图上每点确定一个效率修正w_{eff}



- > 级数和级数间协方差可以通过对数据加权求和得到
 - $(a/b)_n^f = \sum_{i=1}^{N_f} w_n^{(a/b)i}; \quad cov(a_1, a_2) = \sum_{i=1}^N w_1^i w_2^i$
 - > 信号级数可以由数据级数减除本底级数得到

级数关系



- ▶基于B → DK的振幅,可以得到级数间具有的级数关系:
 - □B衰变

•
$$a_n^{B+} = h_B[a_n^{D+} + (x_-^2 + y_-^2)a_n^{D-} + 2(x_-a_n^C + y_-a_n^S)]$$

■D衰变

• 味标记道

$$a_n^{flav} = h_{flav}[a_n^{D+} + (x_D^2 + y_D^2)a_n^{D-} - 2R_D(x_D a_n^C - y_D a_n^S)] \propto a_n^{D+}$$

• CP标记道

$$a_n^{CP\pm} = h_{CP+}[a_n^{D+} + a_n^{D-} \mp a_n^{C}]$$

• 自共轭道

$$a_{mn}^{DD} = h_{DD}[a_m^{D+}a_n^{D-} + a_m^{D-}a_n^{D+} - 2(a_m^C a_n^C + a_m^S a_n^S)]$$

ightharpoons 基于系数公式拟合得到CP破坏参数 $x_{\pm} = r_B \cos(\delta_B \pm \gamma) \ln y_{\pm} = r_B \sin(\delta_B \pm \gamma)$

似然拟合函数



> 可以通过预期级数和关联矩阵构建χ²似然拟合函数

$$\chi^2 = \left[a_n^{CP+} - \mu_{a_n^{CP+}} \right]^T V_{a_n^{CP+}}^{-1} \left[a_n^{CP+} - \mu_{a_n^{CP+}} \right]$$

 \triangleright 拟合函数 χ^2 为B介子数据 χ^2_{Beauty} 和D介子数据 χ^2_{Charm}

$$\chi_{Charm}^{2} = \chi_{K_{S}^{0}h^{+}h^{-} \text{ vs. } CP\text{-even}}^{2}(a_{n}^{C}, b_{n}^{C}) + \chi_{K_{S}^{0}h^{+}h^{-} \text{ vs. } CP\text{-odd}}^{2}(a_{n}^{C}, b_{n}^{C})
+ \chi_{K_{S}^{0}h^{+}h^{-} \text{ vs. } K_{S}^{0}h^{+}h^{-}}^{2}(a_{n}^{C}, b_{n}^{C}, a_{n}^{S}, b_{n}^{S})
+ \chi_{K_{L}^{0}h^{+}h^{-} \text{ vs. } CP\text{-even}}^{2}(a_{n}^{C'}, b_{n}^{C'}) + \chi_{K_{L}^{0}h^{+}h^{-} \text{ vs. } CP\text{-odd}}^{2}(a_{n}^{C'}, b_{n}^{C'})
+ \chi_{K_{L}^{0}h^{+}h^{-} \text{ vs. } K_{S}^{0}h^{+}h^{-}}^{2}(a_{n}^{C}, b_{n}^{C}, a_{n}^{S}, b_{n}^{S}, a_{n}^{C'}, b_{n}^{C'}, a_{n}^{S'}, b_{n}^{S'})
+ \chi_{\Delta(a,b)_{n}^{C},S}^{2}(a_{n}^{C}, b_{n}^{C}, a_{n}^{S}, b_{n}^{S}, a_{n}^{C'}, b_{n}^{C'}, a_{n}^{S'}, b_{n}^{S'}).$$
(1)

- ▶自由参数包括:
 - $\succ \chi^2_{Beauty}$ 约束的提取 γ 的CP破坏参数 x_{\pm}^{DK} , y_{\pm}^{DK} , $x_{\xi}^{D\pi}$, $y_{\xi}^{D\pi}$
 - $\triangleright \chi^2_{Charm}$ 约束的D介子级数 $(a,b)^n_{C/S}$

预期结果



- \triangleright 通过伪数据样本确定,仅使用 $K_S^0\pi^+\pi^-$ 的情况下,不分组方法统计误差为5.53°,相较分组方法的5.63°有一定提升。
- \triangleright 通过伪数据样本得到不同阶数下不分组方法的预期统计误差 $(K_S^0h^+h^-)$

M_{π}	1	2	3	4	5
1				5.63 ± 0.13	
2	5.46 ± 0.13	5.46 ± 0.13	5.54 ± 0.13	5.60 ± 0.13	5.68 ± 0.14
3	5.47 ± 0.13	5.48 ± 0.13	5.57 ± 0.13	5.58 ± 0.13	5.67 ± 0.14
4	5.50 ± 0.13	5.51 ± 0.13	5.60 ± 0.13	5.60 ± 0.13	5.69 ± 0.14
5	5.50 ± 0.13	5.51 ± 0.13	5.59 ± 0.13	5.60 ± 0.13	5.68 ± 0.13

- ▶联合拟合中 $K_S^0\pi^+\pi^-$ 和 $K_S^0K^+K^-$ 阶数分别取2和1
- $▶加入<math>K_S^0K^+K^-$ 后,不分组方法统计误差提升5%
- \rightarrow 不分组方法对 $K_S^0K^+K^-$ 这类小统计量,难以分组的道有更大优势

预期结果



▶单独考虑统计误差中LHCb的贡献

M_K M_{π}	1	2	3	4	5
1	5.48 ± 0.14	5.44 ± 0.13	5.48 ± 0.14	5.53 ± 0.14	5.59 ± 0.14
2	5.43 ± 0.13	5.4 ± 0.13	5.44 ± 0.13	5.49 ± 0.14	5.54 ± 0.14
3	5.43 ± 0.13	5.42 ± 0.13	5.44 ± 0.13	5.51 ± 0.14	5.55 ± 0.14
4	5.42 ± 0.13	5.42 ± 0.13	5.44 ± 0.13	5.49 ± 0.13	5.55 ± 0.14
5	5.41 ± 0.13	5.41 ± 0.13	5.44 ± 0.13	5.48 ± 0.13	5.54 ± 0.14

- \blacktriangleright 随着LHCb统计量提升,将需求更高阶的 $K_S^0\pi^+\pi^-$ 和 $K_S^0K^+K^-$ 级数
- ightharpoonup本分析将提供更高阶(3, 2)的(a, b) $_{C/S}^n$ 结果,为后续其他不分组方法分析提供输入。
- >本分析目前已经基本完成,即将推出文章进行合作组内审核

内容纲要



- > 研究动机
- > 研究内容
- > 研究进展
- > 总结

总结



- \blacktriangleright 基于BESIII收集的7.93 fb⁻¹ 数据, 完成并发表了 $K_S^0\pi^+\pi^-$ 分组强相 角参数 c/s_i 的测量,为LHCb亮度升级后的 γ 测量提供关键输入。
 - ▶目前, $K_S^0 h^+ h^- (h = \pi, K) 20 \text{fb}^{-1}$ 数据集下的分组强相角参数测量正在推进中。
- ▶基于BESIII收集的7.93 fb⁻¹ 数据,联合LHCb合作组完成了不分组方法下 $B \to Dh, D \to K_{S/L}^0 h^+ h^- (h = \pi, K)$ 道的首次γ测量,预计年内发表
 - ▶相较于分组方法,toy研究表明不分组方法提升约5%

谢谢!